

论著·基础研究

SIRT1 对 H₂O₂ 诱导的人卵巢颗粒细胞氧化应激损伤的影响

和斌，李祺越，洪岭，伍园园，滕晓明，唐传玲

同济大学附属第一妇婴保健院辅助生殖医学科，上海 201204

[摘要] 目的·探讨沉默信息调节因子 1 (silent information regulator 1, SIRT1) 在 H₂O₂ 诱导的人卵巢颗粒细胞氧化应激损伤中的作用及可能机制。**方法·** 分别用 0、100、250、500、1 000 μmol/L H₂O₂ 处理人卵巢颗粒细胞 SVOG 4、8、12、24 h, CCK-8 法检测细胞活力, 选择合适的 H₂O₂ 浓度和处理时间用于建立颗粒细胞体外氧化应激损伤模型。荧光显微镜观察 H₂O₂ 处理后细胞核形态变化, 试剂盒检测细胞丙二醛 (malondialdehyde, MDA) 含量和超氧化物歧化酶 (superoxide dismutase, SOD) 活性; 实时定量 PCR、Western blotting 分析分别检测 SIRT1、衔接蛋白 P66SHC (the 66 kDa Src homology 2 domain containing isoform) 及 B 淋巴细胞瘤 -2 因子 (B-cell lymphoma-2, BCL-2) mRNA 和蛋白的表达水平; 脂质体转染 SIRT1 过表达质粒后, SVOG 细胞再经 H₂O₂ 处理, 同样观察上述指标的变化。**结果·** 250 μmol/L H₂O₂ 处理 SVOG 细胞 12 h, 可诱发细胞活力明显下降 ($P=0.017$), 细胞核固缩, MDA 含量增加 ($P=0.001$), SOD 活性下降 ($P=0.006$); 伴随 SIRT1、BCL-2 mRNA 和蛋白表达降低, P66SHC 表达升高。SIRT1 过表达后再经 H₂O₂ 处理, 与 H₂O₂ 处理组相比, SVOG 细胞核恢复正常形态, MDA 含量下调 ($P=0.038$), SOD 活性回升 ($P=0.021$), P66SHC 表达降低 ($P=0.002$), BCL-2 表达升高 ($P=0.013$)。**结论·** SIRT1 可能通过下调 P66SHC 和上调 BCL-2 的表达发挥对抗人卵巢颗粒细胞氧化应激损伤的作用。

[关键词] 卵巢颗粒细胞; 沉默信息调节因子 1; 氧化应激损伤; 衔接蛋白 P66SHC; B 淋巴细胞瘤 -2 因子

[DOI] 10.3969/j.issn.1674-8115.2020.12.004 [中图分类号] R711.6 [文献标志码] A

Effect of SIRT1 on H₂O₂-induced oxidative damage in human ovarian granulosa cells

HE Bin, LI Qi-yue, HONG Ling, WU Yuan-yuan, TENG Xiao-ming, TANG Chuan-ling

Department of Assisted Reproductive Medicine, Shanghai First Maternity and Infant Hospital, Tongji University School of Medicine, Shanghai 201204, China

[Abstract] **Objective** · To investigate the effect and possible mechanism of silent information regulator 1 (SIRT1) on H₂O₂-induced oxidative damage in human ovarian granulosa cells. **Methods** · Human ovarian granulosa cells SVOG were treated with 0, 100, 250, 500, 1 000 μmol/L H₂O₂ for 4, 8, 12, 24 h, respectively. The cell viability was measured by CCK-8 method, and the appropriate H₂O₂ concentration and treatment time were used to establish the oxidative stress injury model of granulosa cells *in vitro*. The nuclear morphological changes after H₂O₂ treatment were observed with fluorescence microscope. The malondialdehyde (MDA) levels and superoxide dismutase (SOD) activities were detected by chemical chromatometry kits. Real-time quantitative PCR and Western blotting were respectively used to analyze the mRNA and protein levels of SIRT1, P66SHC (the 66 kDa Src homology 2 domain containing isoform) and B-cell lymphoma-2 (BCL-2). The changes of the above indicators were also assessed after SVOG cells were transfected with SIRT1 overexpression plasmid by liposome and treated with H₂O₂. **Results** · After treatment with 250 μmol/L H₂O₂ for 12 h, the SVOG cell viability decreased significantly ($P=0.017$), the cell nuclei shrank, the MDA level increased ($P=0.001$), the SOD activity decreased ($P=0.006$), and the expression of P66SHC increased with the decreased expression of SIRT1 and BCL-2 at mRNA and protein levels. After overexpression of SIRT1 and treatment with H₂O₂, the nuclei of SVOG cells returned to normal morphology, the MDA level decreased ($P=0.038$), the SOD activity increased ($P=0.021$), the expression of P66SHC decreased ($P=0.002$) and the expression of BCL-2 increased ($P=0.013$). **Conclusion** · SIRT1 can protect human ovarian granulosa cells from oxidative damage by down-regulating the expression of P66SHC and up-regulating BCL-2.

[Key words] ovarian granulosa cell; silent information regulator 1 (SIRT1); oxidative damage; the 66 kDa Src homology 2 domain containing isoform (P66SHC); B-cell lymphoma-2 (BCL-2)

卵泡是女性的基本生殖单位。在卵泡微环境中, 颗粒细胞紧密包裹在卵母细胞外, 为卵母细胞发育提供营养和促成熟因子, 两者的交互“对话”对卵母细胞的分化发育与成熟起着举足轻重的作用^[1]。颗粒细胞数量减少、功能受损、细胞间联系中断, 可诱发卵母细胞凋亡, 导致卵巢

功能下降^[2]。体内外各种刺激可诱发卵泡微环境产生活性氧簇物质 (reactive oxygen species, ROS)。正常情况下, 颗粒细胞可通过自身的抗氧化系统保护卵母细胞免受氧化应激损伤^[3]; 然而, 在体外受精治疗过程中, 颗粒细胞 ROS 异常增加可引起氧化应激损伤, 进一步影响卵子、胚

[基金项目] 国家自然科学基金 (81971383); 上海市自然科学基金 (17ZR1422000); 上海市市级医疗卫生学科建设项目 (2017ZZ02015)。

[作者简介] 和斌 (1992—), 男, 硕士生; 电子信箱: dahebinbin@163.com。

[通信作者] 唐传玲, 电子信箱: ttangirl56@sina.com。

[Funding Information] National Natural Science Foundation of China (81971383); Natural Science Foundation of Shanghai (17ZR1422000); Shanghai Municipal Medical and Health Discipline Construction Project (2017ZZ02015).

[Corresponding Author] TANG Chuan-ling, E-mail: ttangirl56@sina.com.



胎质量以及临床妊娠结局^[4-5]。因此，保护颗粒细胞免受氧化损伤对于维持和提高女性的生育能力具有重要意义。

沉默信息调节因子1(silent information regulator 1, SIRT1)是脱乙酰酶Sirtuin家族中研究最深入的一个成员。其通过对多种非组蛋白及组蛋白赖氨酸残基进行去乙酰化修饰来调节基因表达，参与细胞衰老、糖脂代谢、氧化应激、炎症、细胞凋亡等生理活动^[6]，也是细胞抵抗氧化应激损伤的重要分子^[7]。近年来，很多研究发现SIRT1在调节卵巢功能方面也发挥重要作用，可以促进高脂饮食肥胖小鼠的卵泡存活^[8-9]。此外，SIRT1具有促进人卵巢颗粒细胞的增殖以及维护颗粒细胞稳态的作用^[10]，但目前有关SIRT1在颗粒细胞氧化损伤中作用的研究并不多见。 H_2O_2 作为ROS的主要成员，极易透过细胞膜，可用于模拟体内的氧自由基损伤，而且性质相对稳定，易于获得，已成为研究细胞氧化应激损伤的常用工具。本研究用 H_2O_2 处理SVOG细胞(非肿瘤源性的永生化人卵巢颗粒细胞系)，建立人卵巢颗粒细胞体外氧化应激模型，测定有关氧化应激相关指标，并分析衔接蛋白P66SHC(the 66 kDa Src homology 2 domain containing isoform)与B淋巴细胞瘤-2因子(B-cell lymphoma-2, BCL-2)等氧化应激有关分子的表达情况，探讨SIRT1在 H_2O_2 诱导的SVOG细胞氧化应激损伤中的作用及可能机制，以期为保护颗粒细胞免于氧化应激损伤、维持卵泡正常发育提供新的对策。

1 材料与方法

1.1 主要试剂和仪器

胎牛血清购自以色列Biological Industries公司，DMEM/F12培养基购自美国Hyclone公司，丙二醛(malondialdehyde, MDA)含量检测试剂盒、超氧化物歧化酶(superoxide dismutase, SOD)活性检测试剂盒、实时荧光定量PCR(qPCR)试剂盒购自上海碧云天生物技术有限公司，CCK8试剂盒购自苏州新赛美生物科技有限公司，反转录试剂盒购自日本TaKaRa公司，辣根过氧化物酶(HRP)标记的羊抗兔IgG抗体、兔抗人SIRT1、P66SHC、BCL-2、甘油醛-3-磷酸脱氢酶(glyceraldehyde-3-phosphate dehydrogenase, GAPDH)多克隆抗体均购自美国ProteinTech公司，4,6-二氨基-2-苯基吲哚(4,6-diamino-2-phenyl indole, DAPI)购自美国Sigma公司，增强化学发光法(ECL)试剂购自美国Millipore公司，Opti-MEM培养基购自美国Gibco公司，转染试剂盒Lipofectamine[®]3000购自美国ThermoFisher公司。ABI StepOne Q-PCR仪器购自美国ThermoFisher公司，BX51

荧光显微镜和DP70数字成像系统购自日本Olympus公司，Spectramax M5酶标仪购自美国Molecular Devices公司。SIRT1过表达质粒pcDNA3.1-SIRT1委托江苏知萌生物医药科技有限公司构建，所有引物均由上海生工生物有限公司合成。

1.2 实验方法

1.2.1 细胞培养 SVOG细胞购自上海泽叶生物科技有限公司，使用含有10%血清的DMEM/F12培养基，置于37℃、5%CO₂培养箱中培养。本研究所有实验经同济大学附属第一妇婴保健院伦理委员会批准。SVOG细胞根据实验需要被分为空白对照组(对照组)、H₂O₂处理组(H₂O₂组)、SIRT1过表达质粒转染组(SIRT1组)和SIRT1过表达质粒转染后H₂O₂处理组(SIRT1+H₂O₂组)。

1.2.2 细胞转染SIRT1过表达质粒 将SVOG细胞按5×10³/mL接种到6孔板中，待细胞生长融合至约80%时换液行SIRT1过表达质粒转染。一个无菌EP管中加入3.75 μL Lipofectamine[®]3000试剂，用125 μL Opti-MEM培养基稀释，并充分混匀；在另一个无菌EP管中将1.5 μg质粒稀释于125 μL Opti-MEM培养基，然后添加P3000[™]试剂5 μL，充分混匀。将上述2个EP管中液体按1:1比例混匀，室温孵育10 min后，加至6孔板中，250 μL/孔，放置于培养箱中继续培养48 h后，qPCR和Western blotting检测SIRT1过表达情况。

1.2.3 细胞氧化应激模型 参照文献^[11-12]采用H₂O₂建立细胞氧化损伤模型，使用不同浓度H₂O₂(0、100、250、500、1 000 μmol/L)处理SVOG细胞，分别于4、8、12、24 h后，通过细胞核形态、细胞活力等数据，选取细胞核形态和活力具有显著性变化，且细胞存活率处于50%~70%的最低浓度和合适时间作为后续诱导氧化损伤模型的条件。

1.2.4 CCK8法检测细胞活力 为了观察H₂O₂处理对人卵巢颗粒细胞活力的影响，使用CCK8试剂盒进行细胞活力检测。将SVOG细胞按1×10⁴/100 μL接种到96孔板中，待细胞融合至约80%后，加入含有不同浓度H₂O₂的培养基，分别于4、8、12、24 h后，每孔加入CCK8试剂10 μL，继续培养1 h，酶标仪测定450 nm处吸光度值[D(450 nm)]，计算细胞活力=[D(450 nm)_{加药}-D(450 nm)_{空白}]/[D(450 nm)_{未加药}-D(450 nm)_{空白}]×100%。

1.2.5 荧光显微镜观察细胞核形态 将培养皿中的细胞，PBS浸洗3次，加入DAPI，室温避光孵育5 min，PBS洗涤后在荧光显微镜下观察细胞核形态。

1.2.6 氧化应激指标检测 MDA和SOD是反映氧化应



激状态的常用指标。MDA 是胞膜脂质过氧化终产物，可间接反映细胞受自由基攻击所受的损害，而 SOD 是机体内清除自由基的重要抗氧化酶。收集不同处理组细胞的裂解液，检测 MDA 含量和 SOD 活性，实验均严格按照试剂盒说明书进行操作。

1.2.7 qPCR 检测 收集细胞样品，加入 TRIzol 提取细胞 RNA，采用反转录试剂盒合成 cDNA。以 cDNA 为模板，按照 qPCR 试剂盒说明书检测 *SIRT1*、*P66SHC*、*BCL-2*、 β -肌动蛋白 (β -actin) 的 mRNA 水平。每个样本设置 3 个复孔，实验重复 3 次。各待测基因引物序列见表 1。

表 1 qPCR 引物序列
Tab 1 Primers used for qPCR

Gene	Primer
<i>SIRT1</i>	
Forward	5'-GGTATTATGCTCGCCTGC-3'
Reverse	5'-TGACAGAGAGATGGCTGGAA-3'
<i>P66SHC</i>	
Forward	5'-TCCTCCAGGACATGAACAAGCTGA-3'
Reverse	5'-TGGGCTTATTGACAAAGCTCCCGT-3'
<i>BCL-2</i>	
Forward	5'-CTTGAGTTGGTGGGTCA-3'
Reverse	5'-GGTCACATGTAAGGCCAGCCT-3'
β -actin	
Forward	5'-CATGTACGTTGCTATCCAGGC-3'
Reverse	5'-CTCCTTAATGTCACGCACGAT-3'

1.2.8 Western blotting 检测蛋白水平 收集细胞裂解液，离心后吸取上清液，蛋白定量。配制 10% 分离胶及 5% 浓缩胶，蛋白上样，70 V 电泳 30 min，125 V 电泳 70 min，300 mA 转膜 120 min。室温下封闭 2 h，分别加入兔抗人 *SIRT1*、*P66SHC*、*BCL-2*、GAPDH 多克隆抗体 (1:1 000 稀释)，4 ℃ 摆床孵育过夜，充分洗涤后，加入 HRP 标记的羊抗兔 IgG 抗体 (1:5 000 稀释) 室温孵育 1 h，充分洗涤后，加入 ECL 发光液，曝光，经数码凝胶图像处理系统扫描图像。

1.3 统计学分析

采用 GraphPad Prism 7.0 软件进行统计分析，数据均以 $\bar{x} \pm s$ 表示，2 组间比较使用独立样本 *t* 检验，多组间比较采用单因素方差分析结合 Tukey 检验。所有实验重复 3 次，以 $P < 0.05$ 表示差异有统计学意义。

2 结果

2.1 H_2O_2 处理诱导 SVOG 细胞氧化应激损伤

采用 H_2O_2 处理 SVOG 细胞诱导颗粒细胞体外氧化应激损伤模型。CCK-8 细胞活力实验结果 (图 1A) 显示，随着 H_2O_2 浓度及处理时间的增加，SVOG 细胞的活力逐渐下降。250 $\mu\text{mol/L}$ H_2O_2 处理 12 h，SVOG 细胞的活力下降至对照组的 60% 左右，差异有统计学意义 ($P=0.017$)。荧光显微镜观察结果 (图 1B) 显示，250 $\mu\text{mol/L}$ H_2O_2 处理 12 h，SVOG 细胞的细胞核明显缩小，染色质凝集呈颗粒团块状分布，表明颗粒细胞发生凋亡；同时检测氧化应激相关分子，结果 (图 1C、D) 显示，MDA 含量升高 ($P=0.001$)，SOD 活性下降 ($P=0.006$)，进一步证实 250 $\mu\text{mol/L}$ H_2O_2 处理 SVOG 细胞 12 h 可诱导颗粒细胞体外氧化应激损伤，因此选择该 H_2O_2 浓度和处理时间用于后续实验。

2.2 氧化应激状态下 SVOG 细胞 *SIRT1*、*P66SHC* 与 *BCL-2* 的表达水平

H_2O_2 处理 SVOG 细胞后，qPCR 结果 (图 2A、B、C) 显示，SVOG 细胞经 H_2O_2 处理后，*SIRT1* 及 *BCL-2* 的 mRNA 水平与对照组相比明显下降，*P66SHC* 明显升高，差异均有统计学意义 (均 $P < 0.05$)。Western blotting 结果 (图 2D) 进一步证实 H_2O_2 处理后，SVOG 细胞 *SIRT1* 表达下降，*P66SHC* 表达升高，*BCL-2* 表达下降。表明 H_2O_2 诱导的 SVOG 细胞氧化损伤伴随着 *SIRT1*、*BCL-2* 的表达水平下降及 *P66SHC* 的表达升高。

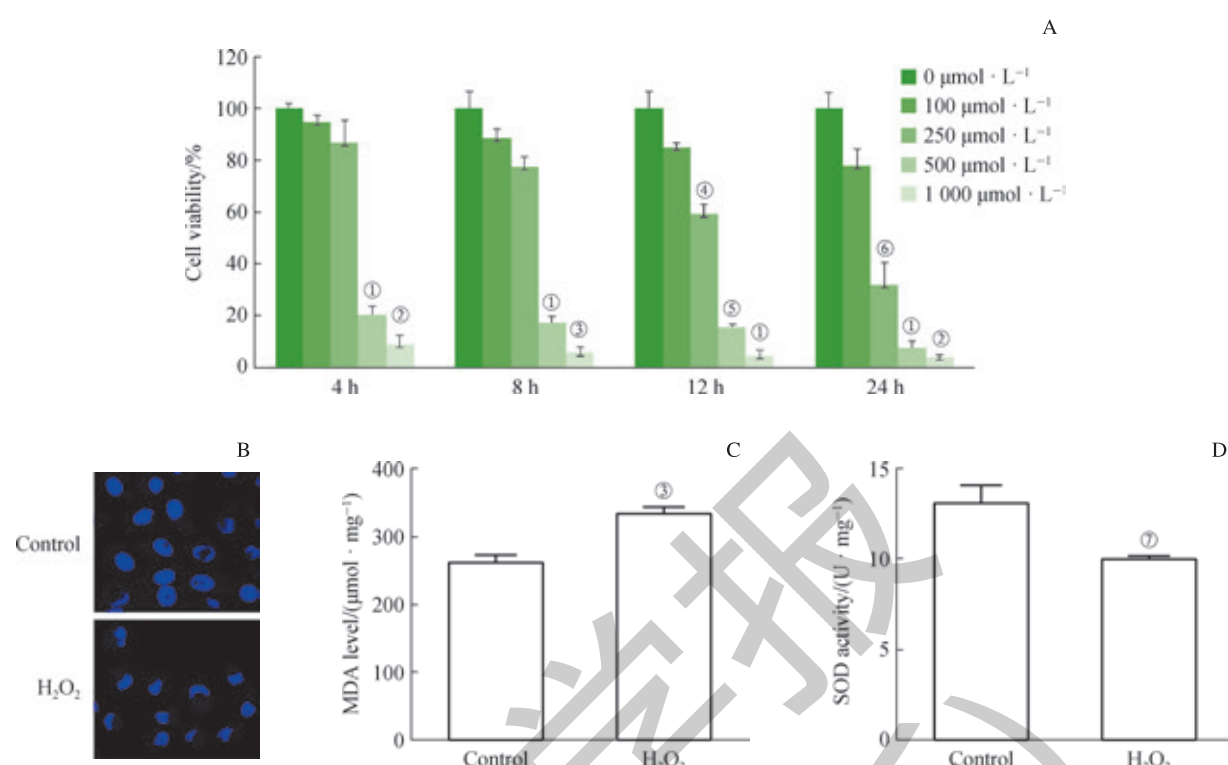
2.3 SVOG 细胞转染 *SIRT1* 过表达质粒后 *P66SHC* 及 *BCL-2* 的表达

通过脂质体转染 *SIRT1* 过表达质粒，转染 48 h 后收集细胞进行检测。qPCR (图 3A、B、C) 结果显示，*SIRT1* 组与对照组相比，*SIRT1* 及 *BCL-2* 的 mRNA 水平均升高 (均 $P < 0.05$)，而 *P66SHC* 的 mRNA 水平下降 ($P=0.000$)；Western blotting 结果与 qPCR 的结果一致 (图 3D)。

2.4 *SIRT1* 过表达对 H_2O_2 诱导的 SVOG 细胞氧化应激损伤的影响

SVOG 细胞转染 *SIRT1* 过表达质粒及 H_2O_2 处理后与 H_2O_2 组相比 (图 4)，细胞核形态正常，呈圆形或椭圆形，荧光分布均匀；MDA 含量下降 ($P=0.038$)，SOD 活性升高 ($P=0.021$)。这些结果提示上调 *SIRT1* 表达可减轻 H_2O_2 诱导的 SVOG 细胞氧化应激损伤。

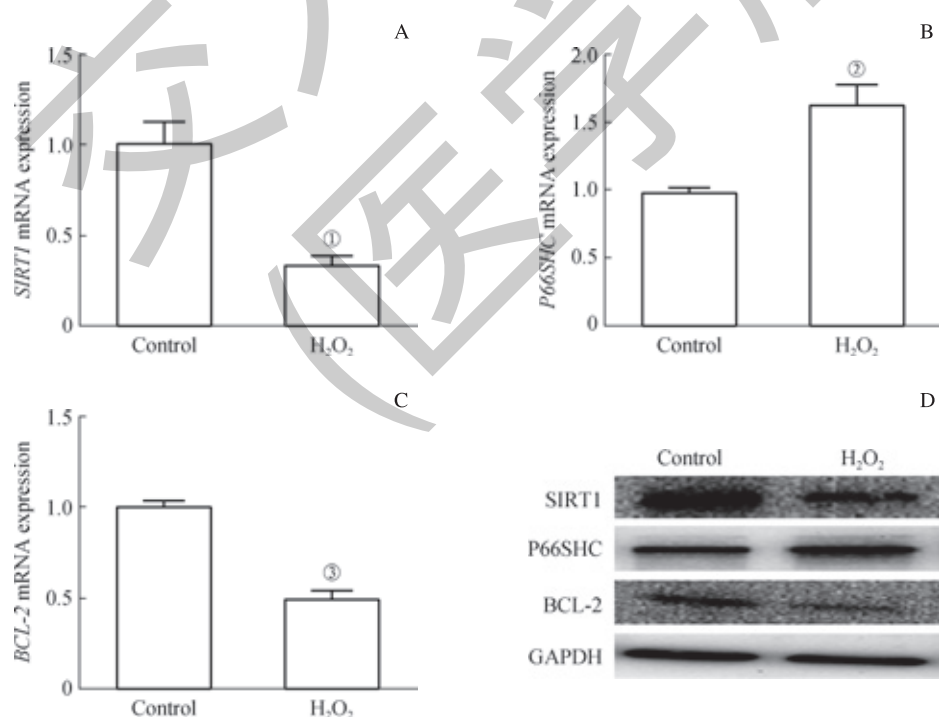




Note: A. Cell viability detected by CCK8 in SVOG cells treated with H_2O_2 . B. Cell viability detected by DAPI staining in SVOG cells treated with 250 $\mu\text{mol} \cdot \text{L}^{-1}$ H_2O_2 for 12 h ($\times 200$). C. The MDA level in SVOG cells treated with 250 $\mu\text{mol} \cdot \text{L}^{-1}$ H_2O_2 for 12 h. D. The SOD activity in SVOG cells treated with 250 $\mu\text{mol} \cdot \text{L}^{-1}$ H_2O_2 for 12 h. ^① $P=0.002$, ^② $P=0.003$, ^③ $P=0.001$, ^④ $P=0.017$, ^⑤ $P=0.004$, ^⑥ $P=0.005$, ^⑦ $P=0.006$, compared with the control (0 $\mu\text{mol} \cdot \text{L}^{-1}$) group.

图 1 H_2O_2 处理诱导的人卵巢颗粒细胞 SVOG 氧化应激损伤

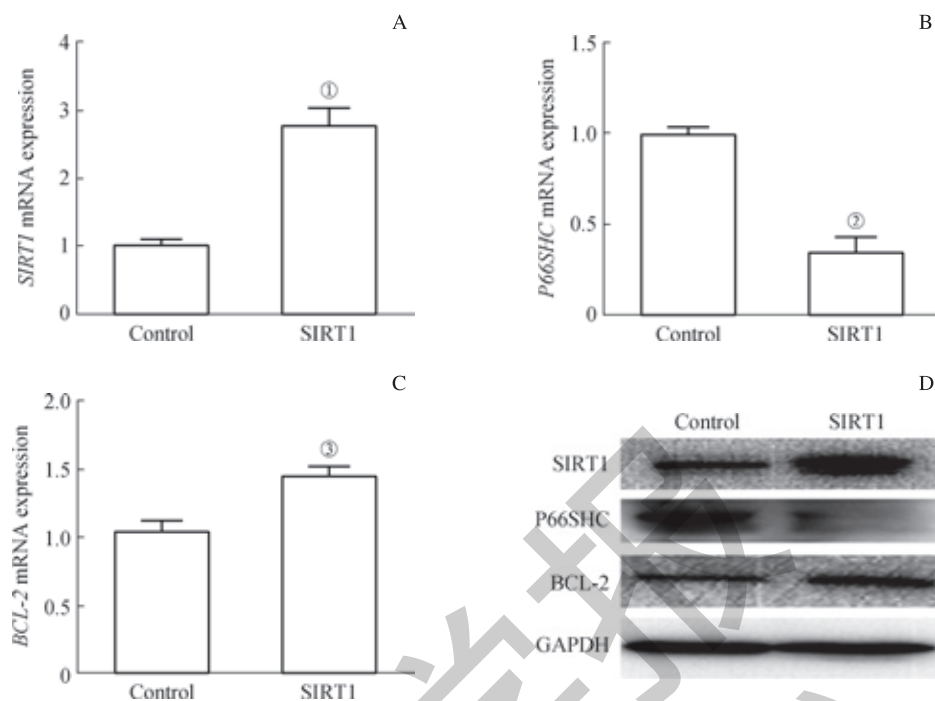
Fig 1 H_2O_2 -induced oxidative damage in human ovarian granulosa cells SVOG



Note: A. SIRT1 mRNA expression. B. P66SHC mRNA expression. C. BCL-2 mRNA expression. D. SIRT1, P66SHC and BCL-2 protein expressions. ^① $P=0.001$, ^② $P=0.002$, ^③ $P=0.000$, compared with the control group.

图 2 250 $\mu\text{mol} \cdot \text{L}^{-1}$ H_2O_2 处理人卵巢颗粒细胞 SVOG 12 h 后 SIRT1、P66SHC 与 BCL-2 mRNA 和蛋白表达水平的变化

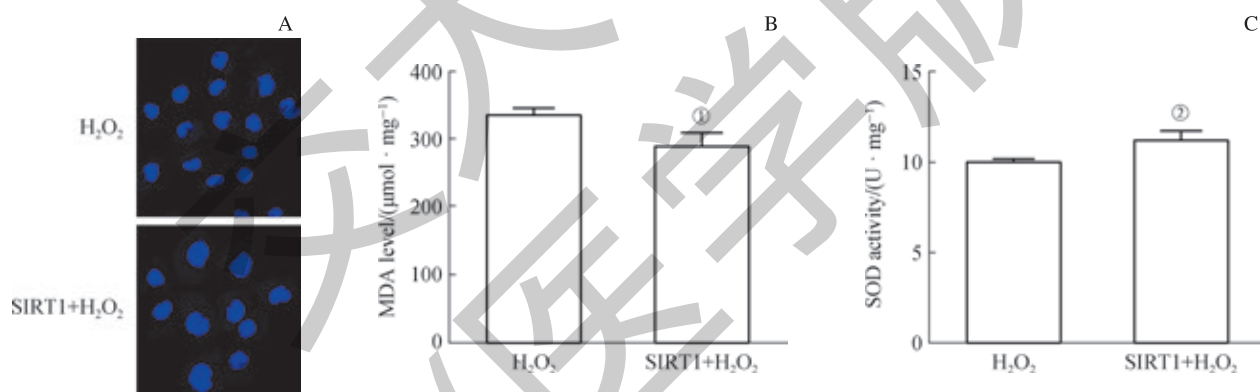
Fig 2 Changes of mRNA and protein expression levels of SIRT1, P66SHC and BCL-2 in the human ovarian granulosa cells SVOG treated with 250 $\mu\text{mol} \cdot \text{L}^{-1}$ H_2O_2 for 12 h



Note: A. SIRT1 mRNA expression. B. P66SHC mRNA expression. C. BCL-2 mRNA expression. D. SIRT1, P66SHC and BCL-2 protein expressions. ^① $P=0.003$, ^② $P=0.000$, ^③ $P=0.004$, compared with the control group.

图 3 SIRT1 过表达质粒转染后对人卵巢颗粒细胞 SVOG 的 P66SHC 与 BCL-2 mRNA 和蛋白表达水平的影响

Fig 3 Effects of SIRT1 overexpression plasmid transfection on mRNA and protein expression levels of P66SHC and BCL-2 in the human ovarian granulosa cells SVOG



Note: A. Cell viability measured by DAPI staining in H_2O_2 -treated SVOG cells after overexpression of SIRT1 gene ($\times 200$). B. The level of MDA in H_2O_2 -treated SVOG cells after overexpression of SIRT1 gene. C. The activity of SOD in H_2O_2 -treated SVOG cells after overexpression of SIRT1 gene. ^① $P=0.038$, ^② $P=0.021$, compared with H_2O_2 group.

图 4 SIRT1 过表达质粒转染后对 H_2O_2 诱导人卵巢颗粒细胞 SVOG 氧化应激损伤的影响

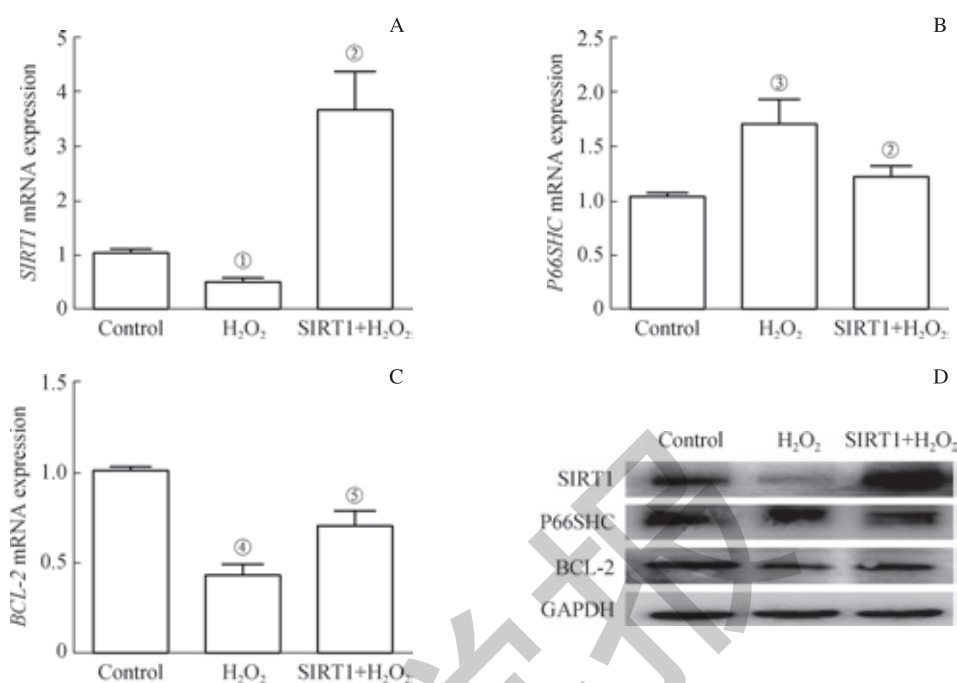
Fig 4 Effect of SIRT1 overexpression plasmid transfection on oxidative stress injury induced by H_2O_2 in human ovarian granulosa cells SVOG

2.5 过表达 SIRT1 对氧化应激状态下 SVOG 细胞 P66SHC 及 BCL-2 表达的影响

SIRT1 过表达后，氧化应激状态下 SVOG 细胞的 P66SHC 及 BCL-2 mRNA 和蛋白表达水平见图 5。qPCR 结果显示，SVOG 细胞转染 SIRT1 过表达质粒及 H_2O_2

处理后与 H_2O_2 组比较，P66SHC 表达下降 ($P=0.002$)，BCL-2 表达升高 ($P=0.013$)。Western blotting 结果与 qPCR 的结果一致。这表明 SIRT1 可能是通过调控 P66SHC 及 BCL-2 的表达参与 H_2O_2 诱导的 SVOG 细胞氧化应激损伤。





Note: A. SIRT1 mRNA expression. B. P66SHC mRNA expression. C. BCL-2 mRNA expression. D. SIRT1, P66SHC and BCL-2 protein expressions. ^① $P=0.001$, ^② $P=0.006$, ^③ $P=0.005$, compared with the control group; ^④ $P=0.002$, ^⑤ $P=0.013$, compared with the H₂O₂ group.

图 5 SIRT1 过表达质粒转染后对氧化应激状态下人卵巢颗粒细胞 SVOG 的 P66SHC 与 BCL-2 mRNA 和蛋白表达水平的影响

Fig 5 Effects of SIRT1 overexpression plasmid transfection on mRNA and protein expression levels of P66SHC and BCL-2 in human ovarian granulosa cells SVOG under oxidative stress

3 讨论

正常情况下，机体内的氧化与抗氧化系统维持动态平衡。当这种平衡状态被有害刺激打破时，就会导致氧化应激损伤，表现为多种疾病组织病理渐进性损伤变化。在女性生殖系统中，氧化应激可导致卵巢颗粒细胞功能异常甚至凋亡^[13]，进而导致卵巢功能受损，但其具体机制尚未阐明。本研究采用 H₂O₂ 处理 SVOG 细胞株，建立颗粒细胞体外氧化应激损伤模型，探索缓解卵巢颗粒细胞氧化应激损伤的分子靶点及其作用机制。

作为 ROS 的主要成员，H₂O₂ 产生的羟自由基可引发脂质过氧化反应，促进 ROS 产生，诱导细胞氧化损伤。我们的早期研究^[12] 在滋养细胞上也观察到 H₂O₂ 能够诱导滋养细胞氧化损伤，促进 ROS 产生，破坏线粒体膜电位。因此，本研究也通过 H₂O₂ 处理来诱导卵巢颗粒细胞氧化损伤，建立氧化应激模型。本实验结果显示，H₂O₂ 处理后 SVOG 细胞活力下降，细胞核明显缩小，染色质凝集呈颗粒团块状分布，表明颗粒细胞发生凋亡。氧化应激可导致机体内抗氧化物质和氧化物生成之间的不平衡状态，过量 ROS 能够攻击细胞生物膜中的多不饱和脂肪酸，引发脂质过氧化作用，并形成脂质过氧化物。MDA 是脂质过氧化反应的重要产物，能引起蛋白质、核酸等生物大分子的交

联，产生细胞毒性作用。另一方面，ROS 消耗细胞内的抗氧化物质，引起细胞内抗氧化酶（如 SOD）活性下降^[14]。SVOG 细胞经 H₂O₂ 处理后，脂质过氧化物 MDA 水平显著升高，而抗氧化酶 SOD 水平明显下降；说明 H₂O₂ 处理能够有效诱导卵巢颗粒细胞产生氧化应激损伤。

SIRT1 可以通过对其底物分子的去乙酰化作用，参与多种细胞生理过程。大量研究表明，SIRT1 参与调控细胞的氧化应激从而影响细胞的存活。Gay 等^[15] 报道在 H₂O₂ 诱导的神经元细胞氧化损伤模型中 SIRT1 表达下降；Prola 等^[16] 研究发现，抑制或降低 SIRT1 活性会加重内质网诱导型心肌损伤，激活 SIRT1 则会对心肌细胞产生保护作用。近年来的研究表明 SIRT1 也参与调控卵巢功能。如在肥胖小鼠中，使用 SIRT1 激动剂可以通过激活 SIRT1 信号通路以及抑制哺乳动物雷帕霉素靶蛋白（mammalian target of rapamycin, mTOR）信号通路恢复卵巢功能，并且延长卵巢的寿命^[9]。在多囊卵巢综合征大鼠模型体内，卵巢表达 SIRT1 的水平显著下降^[8]。Lai 等^[17] 报道，患有多囊卵巢综合征的不孕妇女颗粒细胞的氧化应激水平高于输卵管因素导致的不孕妇女，可能进一步影响卵子和胚胎质量，从而影响体外受精胚胎移植的助孕结局。本研究在卵巢颗粒细胞体外氧化应激损伤模型中也发现，250 μmol/L H₂O₂ 处理 12 h 可诱发 SVOG 细胞氧化应激损伤，同时 SIRT1

表达降低；而 SVOG 细胞转染 SIRT1 过表达质粒后再经 H₂O₂ 处理，细胞 MDA 含量下降，SOD 活性上升，表明上调 SIRT1 表达具有抗卵巢颗粒细胞氧化应激损伤作用。

衔接蛋白 P66SHC 是调控氧化应激和生命周期的关键因子，可以感知氧化应激信号的刺激，从细胞质转位至线粒体，氧化细胞色素 C 产生大量 ROS，造成细胞的氧化损伤^[18]。研究^[19]发现，小鼠 *P66shc* 基因敲除后，机体对抗氧化应激诱导的 DNA 损伤和细胞凋亡能力增强，寿命延长。SIRT1 是调控细胞氧化应激的重要分子，可以通过直接或间接途径调控 P66SHC 表达。Wils 等^[20]研究发现，在高糖诱导的心血管内皮损伤过程中，SIRT1 和 P53 均可通过影响 P66SHC 的表达水平调控 ROS 的产生；在组织和 DNA 损伤时，SIRT1 可通过作用于 P53，减少 P53 依赖的细胞凋亡^[21]；而 P66SHC 作为 P53 的下游信号分子参与氧化应激介导的细胞凋亡^[22]。本研究发现 H₂O₂ 诱导 SVOG 细胞氧化损伤，伴随着 SIRT1 表达下降，P66SHC 表达显著升高。过表达 SIRT1 基因则抑制 P66SHC 基因表达，细胞氧化损伤减轻。这些结果提示 SIRT1 可能通过抑制 P66SHC 的表达从而缓解 H₂O₂ 诱导的细胞氧化

损伤。

氧化应激状态下，ROS 过量导致 DNA 损伤，可激活 P53 并快速转移到线粒体，与线粒体膜上的 BCL-2 家族成员相互作用，调节细胞凋亡^[23]。BCL-2 能够阻止细胞色素 c 从线粒体释放到细胞质，从而抑制细胞凋亡，是参与调控线粒体凋亡途径的凋亡抑制蛋白^[24]。BCL-2 也可以通过减少氧自由基的产生和脂质过氧化物的形成，发挥间接的抗氧化作用^[25]。本研究显示，在 H₂O₂ 诱导的 SVOG 细胞氧化损伤模型中，SIRT1 表达下降的同时，BCL-2 表达下降；SIRT1 过表达后再经 H₂O₂ 处理，BCL-2 表达上调。这些结果提示 SIRT1 可能通过上调 BCL-2 表达缓解 H₂O₂ 诱导的细胞氧化损伤。

综上所述，在 H₂O₂ 诱导的人颗粒细胞 SVOG 体外氧化应激损伤模型中，调控细胞氧化应激的 SIRT1 表达降低；转染过表达 SIRT1 后，SVOG 细胞氧化损伤减轻，促过氧化损伤的 P66SHC 表达下调，抗过氧化的 BCL-2 表达上调。本研究发现了 SIRT1 参与调控人卵巢颗粒细胞氧化应激损伤的一种可能机制，进一步的研究将有望为临幊上保护卵巢功能的治疗提供新的靶点。

参·考·文·献

- [1] Albertini DF. A cell for every season: the ovarian granulosa cell[J]. J Assist Reprod Genet, 2011, 28(10): 877-878.
- [2] Tiwari M, Prasad S, Tripathi A, et al. Apoptosis in mammalian oocytes: a review[J]. Apoptosis, 2015, 20(8): 1019-1025.
- [3] Tiwari M, Tripathi A, Chaube SK. Presence of encircling granulosa cells protects against oxidative stress-induced apoptosis in rat eggs cultured *in vitro*[J]. Apoptosis, 2017, 22(1): 98-107.
- [4] Yang HY, Xie Y, Yang DY, et al. Oxidative stress-induced apoptosis in granulosa cells involves JNK, p53 and Puma[J]. Oncotarget, 2017, 8(15): 25310-25322.
- [5] Jancar N, Kopitar AN, Ihan A, et al. Effect of apoptosis and reactive oxygen species production in human granulosa cells on oocyte fertilization and blastocyst development[J]. J Assist Reprod Genet, 2007, 24(2-3): 91-97.
- [6] Bonkowski MS, Sinclair DA. Slowing ageing by design: the rise of NAD⁺ and sirtuin-activating compounds[J]. Nat Rev Mol Cell Biol, 2016, 17(11): 679-690.
- [7] Zhang WJ, Huang QB, Zeng ZH, et al. Sirt1 inhibits oxidative stress in vascular endothelial cells[J]. Oxid Med Cell Longev, 2017, 2017: 7543973.
- [8] Tao X, Zhang X, Ge SQ, et al. Expression of SIRT1 in the ovaries of rats with polycystic ovary syndrome before and after therapeutic intervention with exenatide[J]. Int J Clin Exp Pathol, 2015, 8(7): 8276-8283.
- [9] Zhou XL, Xu JJ, Ni YH, et al. SIRT1 activator (SRT1720) improves the follicle reserve and prolongs the ovarian lifespan of diet-induced obesity in female mice via activating SIRT1 and suppressing mTOR signaling[J]. J Ovarian Res, 2014, 7: 97.
- [10] Tatone C, Di Emidio G, Vitti M, et al. Sirtuin functions in female fertility: possible role in oxidative stress and aging[J]. Oxid Med Cell Longev, 2015, 2015: 659687.
- [11] Lang JY, Ma K, Guo JX, et al. Oxidative stress induces B lymphocyte DNA damage and apoptosis by upregulating p66shc[J]. Eur Rev Med Pharmacol Sci, 2018, 22(4): 1051-1060.
- [12] Tang CL, Liang J, Qian JF, et al. Opposing role of JNK-p38 kinase and ERK1/2 in hydrogen peroxide-induced oxidative damage of human trophoblast-like JEG-3 cells[J]. Int J Clin Exp Pathol, 2014, 7(3): 959-968.
- [13] Prasad S, Tiwari M, Pandey AN, et al. Impact of stress on oocyte quality and reproductive outcome[J]. J Biomed Sci, 2016, 23: 36.
- [14] Schoots MH, Gordijn SJ, Scherjon SA, et al. Oxidative stress in placental pathology[J]. Placenta, 2018, 69: 153-161.
- [15] Gay NH, Phopin K, Suwanjang W, et al. Neuroprotective effects of phenolic and carboxylic acids on oxidative stress-induced toxicity in human neuroblastoma SH-SY5Y cells[J]. Neurochem Res, 2018, 43(3): 619-636.
- [16] Prola A, Pires Da Silva J, Guilbert A, et al. SIRT1 protects the heart from ER stress-induced cell death through eIF2α deacetylation[J]. Cell Death Differ, 2017, 24(2): 343-356.
- [17] Lai QH, Xiang WP, Li Q, et al. Oxidative stress in granulosa cells contributes to poor oocyte quality and IVF-ET outcomes in women with polycystic ovary syndrome[J]. Front Med, 2018, 12(5): 518-524.
- [18] Giorgio M, Migliaccio E, Orsini F, et al. Electron transfer between cytochrome c and p66Shc generates reactive oxygen species that trigger mitochondrial apoptosis[J]. Cell, 2005, 122(2): 221-233.
- [19] Ramsey JJ, Tran D, Giorgio M, et al. The influence of Shc proteins on life span in mice[J]. J Gerontol A Biol Sci Med Sci, 2014, 69(10): 1177-1185.
- [20] Wils J, Favre J, Bellien J. Modulating putative endothelial progenitor cells for the treatment of endothelial dysfunction and cardiovascular complications in diabetes[J]. Pharmacol Ther, 2017, 170: 98-115.
- [21] Ong ALC, Ramasamy TS. Role of Sirtuin1-p53 regulatory axis in aging, cancer and cellular reprogramming[J]. Ageing Res Rev, 2018, 43: 64-80.
- [22] Trinei M, Giorgio M, Cicalese A, et al. A p53-p66Shc signalling pathway controls intracellular redox status, levels of oxidation-damaged DNA and oxidative stress-induced apoptosis[J]. Oncogene, 2002, 21(24): 3872-3878.
- [23] Moll UM, Zaika A. Nuclear and mitochondrial apoptotic pathways of p53[J]. FEBS Lett, 2001, 493(2-3): 65-69.
- [24] Kale J, Osterlund EJ, Andrews DW. BCL-2 family proteins: changing partners in the dance towards death[J]. Cell Death Differ, 2018, 25(1): 65-80.
- [25] Wang GX, Tu HC, Dong YY, et al. ΔNp63 inhibits oxidative stress-induced cell death, including ferroptosis, and cooperates with the BCL-2 family to promote clonogenic survival[J]. Cell Rep, 2017, 21(10): 2926-2939.

〔收稿日期〕 2020-04-05

〔本文编辑〕 瞿麟平

